

## 지정된 디스크 영역 내 극 배치법을 이용한 비선형 시스템 제어를 위한 퍼지 제어기

이상준 이남수 주영훈 박진배\*  
군산대 공대 전자정보공학부 \*연세대 공대 전기 및 컴퓨터 공학과

## Fuzzy Controller for Nonlinear Systems Using Pole Placement in a Specified Disk

Sang-jun Lee Nam-su Lee Young-Hoon Joo

School of Electronic & Info. Eng., Kunsan Univ. \*Dept. of Electrical & Computer Eng., Yonsei Univ.

**Abstract** - This paper addresses a fuzzy controller for nonlinear systems control using a pole placement in a specified disk. In the method, we linearize a nonlinear plant about nominal operating points and represent it using TS fuzzy model and formulate the controller rules. A feedback control law for a local model is determined using a pole placement in a specified disk ( $\alpha$ :center  $\gamma$ :radius) region so that the closed loop system is stable. A nonlinear system can be controlled by combining fuzzy controller with a pole placement scheme which can be used to modify the transient response such as damping ratio and overshoot. A stability of overall fuzzy control system is guaranteed in the Lyapunov sense. Finally, it is shown that the proposed method is feasible through a computer simulation.

### 1. 서 론

퍼지 제어는 제어 대상 시스템이 수학적으로 모델링하기 어렵거나 강한 비선형을 보이는 경우, 또는 외부 환경이 불확실한 경우 등에 대해 강인한 성능을 보여준다. 즉 내재된 비선형성 때문에 선형제어기에 비해 효과적인 제어가 가능하고, 많은 경우 비선형 프로세서의 제어에 효과적으로 대처할 수 있다는 장점이 있다[1]-[4].

Cao[2]는 일반적인 퍼지 모델 기반 제어기를 설계하고 해석하기 위해서 혼대 제어 이론을 적용했고 Wong[3]-[4] 등도 좀 더 체계적인 퍼지 제어기의 설계를 위해 TSK퍼지 모델에 기반한 제어기의 설계와 안정도 분석을 해하였다.

한편 지정된 영역에 폐루프 시스템의 극점을 위치시키는 방법은 제동비나 오버슈트와 같은 시스템의 과도응답을 개선하는데 효과적이다. Nguyen[6]은 시스템의 극점을 복소 좌반면의 디스크 영역에 위치시켰으며 Shieh[7]와 Joo[8]는 복소 좌반면의 섹터 영역에 극점을 위치시키는 방법을 퍼지 제어기에 적용하였다.

본 논문에서는 지정된 디스크 영역 내에 극점을 배치시키는 방법을 응용한 비선형 퍼지 제어기의 설계 기법을 제안한다. 이 방법은 먼저 비선형 시스템에 대하여 여러 동작점에 대하여 선형화하여 Takagi-Sugeno 퍼지 모델로 표현한 후 소위 PDC 기법으로 퍼지 제어기 규칙을 작성한다. 각 지역 퍼지 제어기의 궤환 제어 이득은 극 배치법을 사용하여 구한다. 전체 퍼지 제어기는 모든 지역 퍼지 제어기를 조합하여 얻는다. 결과적으로 생성된 전체 퍼지 제어기에 대한 안정도는 각 지역 제어기에 대해 공통인 양한정 행렬의 존재성의 문제이다. 이하 본 논문의 전개는 다음과 같다.

2장에서는 TS 퍼지 모델과 퍼지 제어기에 대하여 설명

하고, 3장에서 지정된 디스크 영역내 극배치법에 대해 논한다. 4장에서는 제안된 제어기의 안정도 및 성능을 모의 실험을 통하여 검증하고 5장에서 결론을 맺는다.

### 2. 퍼지 제어 시스템

#### 2.1 TSK 퍼지 모델

비선형 시스템에 대한 퍼지 제어기를 구성하기 위해 먼저 TSK 퍼지모델로써 시스템을 표현한다. TSK 퍼지 모델화하기 위해서는 먼저 시스템을 몇 동작점에서 선형화하여 IF - THEN 규칙으로 표현하는데 이 규칙은 시스템에 대해 부분적인 선형 입력력이며 식(1)과 같이 표현 된다.

Plant Rule  $i$  :

$$\text{If } x_1(t) \text{ is } M_1^i \text{ and...and } x_n(t) \text{ is } M_n^i \\ \text{Then } \dot{x}(t) = A_i x(t) + B_i u(t) \quad (1)$$

이 퍼지 모델의 최종 출력은 다음과 같다.

$$\dot{x}(t) = \frac{\sum_{i=1}^q \omega_i(t) (A_i x(t) + B_i u(t))}{\sum_{i=1}^q \omega_i(t)} \quad (2)$$

$$\omega_i(t) = \prod_{j=1}^n M_j^i(x_j(t))$$

여기에서,  $M_j^i$  ( $j=1, 2, \dots, n$ )은  $i$ 번째 퍼지 집합,  $q$ 는 규칙의 수,  $x(t) \in R^n$ 은 상태 변수,  $u(t) \in R^m$ 은 제어입력,  $A_i \in R^{n \times n}$ 과  $B_i \in R^{n \times m}$ 은 시스템에 대한  $i$ 번째 지역 모델,  $x_1(t), \dots, x_n(t)$ 은 전체부 변수이다.

#### 2.2 퍼지 제어기 규칙

퍼지 제어 규칙을 작성하기 위해 PDC 설계기법을 적용하는데 이것은 식(1)과 동일한 전체부를 사용하여 제어기의  $i$ 번째 규칙은 다음과 같다.

Controller Rule  $i$  :

$$\text{If } x_1(t) \text{ is } M_1^i \text{ and...and } x_n(t) \text{ is } M_n^i \\ \text{Then } u(t) = -K_i x(t) \quad (3)$$

여기서,  $K_i = [k_1^i, \dots, k_n^i]$ 는 궤환 이득 벡터이다. 식(3)의 퍼지 제어기의 최종 출력은 다음과 같다.

$$u(t) = - \frac{\sum_{i=1}^q \omega_i(t) K_i x(t)}{\sum_{i=1}^q \omega_i(t)} \quad (4)$$

식(4)를 식(2)에 대입해서 다음과 같은 전체 폐루프 시스템을 얻는다.

$$\dot{x}(t) = \frac{\sum_{i=1}^q \sum_{j=1}^q \omega_i(t) \omega_j(t) \{A_i - B_i K_j\} x(t)}{\sum_{i=1}^q \sum_{j=1}^q \omega_i(t) \omega_j(t)} \quad (5)$$

### 2.3 퍼지 시스템의 안정도

전체 폐루프 시스템 (5)에 대한 안정도 분석은 다음과 같은 충분 조건으로 주어진다.

**정리 1[1]:** 퍼지 제어 시스템(5)는 다음의 두 개의 부등식을 만족하는 공통 양한정 행렬  $P$ 가 존재한다면 넓은 의미에서 점근적으로 안정하다.

$$\{A_i - B_i K_i\}^T P + P \{A_i - B_i K_i\} < 0, \quad i=1, \dots, q \quad (6)$$

$$G_{ij}^T P + PG_{ij} < 0, \quad i < j \leq q \quad (7)$$

$$\text{단, } G_{ij} = \frac{\{A_i - B_i K_j\} + \{A_j - B_j K_i\}}{2}$$

이러한 퍼지제어기에서 설계문제는 조건식 (6)과 (7)을 만족하는 케이스이득  $K_i$  ( $i=1, 2, \dots, q$ )를 구하는 것이다. 본 논문에서는 다음에 설명되는 지정된 디스크 영역 내 극배치법을 이용하여 케이스이득을 구한다.

## 3. 지정된 디스크 영역내 극배치법

### 3.1 서론

다음과 같은  $i$ 번째 부분공간의 가제어 연속시간 시스템을 고려한다.

$$\dot{x}(t) = A_i x(t) + B_i u(t) \quad (8)$$

단,  $x(t) \in R^n$ ,  $u(t) \in R^m$ 은 상태 벡터, 입력 벡터이다. 이 시스템에 대해 본 논문에서 고려하는 문제는 폐루프 시스템의 극점을 그림1과 같은 중심이  $-a+j0$  ( $a>0$ )이고 반경이  $\gamma>0$ 인 디스크 영역내에 위치시키고 다음과 같은 이차 성능 기준을 최소화하는 상태 케이스이득을 구하는 것이다.

$$J_i = \frac{1}{2} \int_0^\infty [x_i^T(t) Q_i x_i(t) + u_i^T(t) R_i u_i(t)] dt \quad (9)$$

단,  $Q_i$ 는 양반한정 대칭행렬이고,  $R_i$ 는 양한정 대칭행렬이다. 성능 기준 (9)를 최소화하는 상태 케이스이득  $u_i(t)$ 는 다음과 같이 구할 수 있다.

$$u_i(t) = -K_i x_i(t) = -R_i^{-1} B_i^T P_i x_i(t) \quad (10)$$

여기에서  $K_i$ 는  $i$ 번째 부분 공간에 대한 케이스이득이고  $P_i$ 는 양반한정 대칭행렬로써 다음 Riccati 방정식의 해이다.

$$A_i^T P_i + P_i A_i - P_i B_i R_i^{-1} B_i^T P_i + Q_i = 0 \quad (11)$$

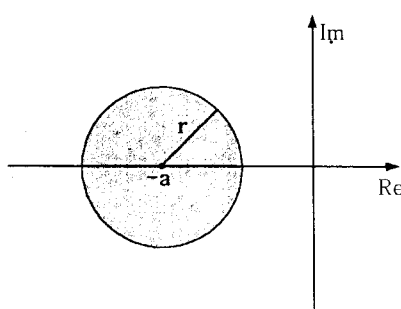


그림 1 지정된 디스크 영역

### 3.2 극배치 계획

다음과 같은 Hamiltonian 행렬  $H$ 는 헤수축에 대칭인  $n$ 개의 양의 고유값과  $n$ 개의 음의 고유값을 가진다고 알려져 있다.

$$H = \begin{bmatrix} A & -BR^{-1}B^T \\ -Q & -A^T \end{bmatrix} \quad (12)$$

이 행렬의 음의 고유값은 다음과 같은 최적 상태 케이스이득의 고유값과 동일하다.

$$\dot{x}(t) = (A - BK)x(t) \quad (13)$$

따라서  $(A - BK)$ 의 고유값 대신 행렬  $H$ 의 고유값을 배치하는 것이 가능하다. 이는 다음과 같은 비특이 행렬  $T$ 를 이용하여 행렬  $H$ 를 다음과 같이 등가 변환함으로써 시작한다.

$$\bar{H} = T^{-1} HT \quad (14)$$

여기서  $T = \begin{bmatrix} T_1 & T_2 \\ 0 & T_4 \end{bmatrix}$ ,  $\bar{H} = \begin{bmatrix} \bar{H}_1 & \bar{H}_2 \\ \bar{H}_3 & \bar{H}_4 \end{bmatrix}$  이고  $\bar{H}_1, \bar{H}_2, \bar{H}_3$

$\bar{H}_4, T_1, T_2, T_4$ 는  $n \times n$ 요소를 갖는 행렬이다.

다음 정리를 통해서 지정된 디스크 영역내 극배치를 만족케 하는 하중 행렬  $Q$ 를 얻게 되고 이를 이용하여 최적 제어 법칙을 구하게 된다.

**정리 2[6]:** 반경  $\gamma_{lef,i}$ 와  $\gamma_{rig,i}$ 로 된 두 개의 디스크가 있을 때, 행렬  $\bar{H}_4$ 와  $\bar{H}_3$ 가 다음 조건을 만족할 경우 행렬  $\bar{H}$ 의 음의 실수부의 고유값은  $D(-\alpha, \gamma)$ 인 디스크 내에 놓이게 된다.

$$\bar{H}_4 = [\bar{h}_{4ij}] < 0, \quad (i, j = 1, \dots, n) \quad (15)$$

$$\|\bar{H}_3 - \bar{H}_4 + aI\|_\infty \leq \gamma \quad (16)$$

여기서  $\gamma_{lef,i}$ 와  $\gamma_{rig,i}$ 는 행렬  $\bar{H}$ 의 양과 음의 실수부의 고유값을 포함하는 디스크의 반경이며,  $I$ 는 적당한 차원을 갖는 단위 행렬이고  $\|\cdot\|_\infty$ 는  $H_\infty$  norm이다.

**보조정리 1[6]:** 반경  $\gamma_{lef,i}$ 와  $\gamma_{rig,i}$ 인 두 원의 합은 다음의 Infinity norm을 만족하면 분리된다.

$$\|\bar{H}_1 - \bar{H}_2\|_\infty < 2\alpha - \gamma \quad (17)$$

단,  $\bar{H}_2 = \bar{H}_3^{-1} (A^2 - \bar{H}_4^2) + T_1^{-1} BR^{-1} B^T T_1^{-1}$ 이다.

**정리 3[6]:** 행렬  $M$ 이 행렬  $A$ 를 대각화한다면 지정된 영역  $D(-\alpha, \gamma)$ 내 극배치를 만족하는 행렬  $Q$ 는 다음과 같이 얻어진다.

$$Q = (M^{-1})^T T_1^{-2} \bar{H}_3 M^{-1} \quad (18)$$

상태 케이스이득 (10)은 시스템(1)의 폐루프 극점을 지정된 디스크  $D(-\alpha, \gamma)$ 내에 배치한다.

결과적으로 지정된 영역내 극배치법에 대한 문제는 다음과 같은 단계를 따른다.

단계 1: 행렬  $A$ 를 대각화한다.

단계 2: 식(16)을 만족하도록  $\bar{h}_{4ij} < 0$ ,  $\bar{h}_{3ij} > 0$ 인 행렬  $\bar{H}_4 = diag(\bar{h}_{4ij})$ ,  $\bar{H}_3 = diag(\bar{h}_{3ij})$ 을 선택한다.

단계 3: 식(17)을 만족하도록  $T_1 = diag(t_{1ij})$  (단,  $t_{1ij} \neq 0$ )와  $R = R^T > 0$ 을 선택한다.

I단계 4: 식(18)로부터 하중 행렬  $Q$ 를 구한다.

단계 5: 식(10)으로부터 최적 케이스이득을 구한다.

## 4. 모의 실험

본 논문에서 도입 진자 시스템을 예로 든다. 이 시스

템의 동역학식은 다음과 같다 [7].

$$\dot{x}_1 = x_2$$

$$\dot{x}_2 = \frac{g \sin(x_1) - a m l x_2^2 \sin(2x_1)/2 - a \cos(x_1) u}{4l/3 - a m l \cos^2(x_1)}$$

여기서,  $x_1$ 은 수직축과 펜들럼이 이루는 각(라디안)이고,  $x_2$ 는 각속도,  $g = 9.8m/s^2$ 는 중력가속도이며,  $m = 2.0kg$ 은 펜들럼의 질량,  $M = 8.0kg$ 은 수레의 질량이고,  $2l = 1.0m$ 은 펜들럼의 길이, 그리고  $u$ 는 수레에 가해지는 힘이다. 또한  $a = 1/(m+M)$ 이다. 이 시스템을 근사화하기 위한 TS퍼지 모델은 다음과 같다 [5].

Rule1:

If  $x_1(t)$  is about 0, Then  $\dot{x}(t) = A_1 x(t) + B_1 u(t)$

Rule2:

If  $x_1(t)$  is about  $\pm\pi/2$ , Then  $\dot{x}(t) = A_2 x(t) + B_2 u(t)$

여기서,

$$A_1 = \begin{bmatrix} 0 & 1 \\ \frac{g}{4l/3 - aml} & 0 \end{bmatrix}, \quad B_1 = \begin{bmatrix} 0 \\ -\frac{a}{4l/3 - aml} \end{bmatrix}$$

$$A_2 = \begin{bmatrix} 0 & 1 \\ \frac{2g}{\pi(4l/3 - aml\beta^2)} & 0 \end{bmatrix}, \quad B_2 = \begin{bmatrix} 0 \\ -\frac{a\beta}{4l/3 - aml\beta^2} \end{bmatrix}$$

이고  $\beta = \cos(88^\circ)$ 이다. Rule 1과 Rule 2에 대한 멤버쉽 함수는 그림 2와 같다.

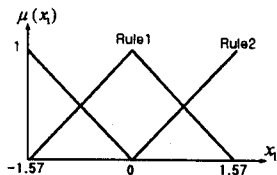


그림 2 멤버쉽 함수

극점 배치를 위한 디스크 영역은 중심을 -5, 반경을 2로 지정했으며 이 영역으로 극점을 위치시키는 하중 행렬  $Q_1$ 과  $Q_2$ 는 다음과 같다.

$$Q_1 = \begin{bmatrix} 11.3162 & -1.4108 \\ -1.4108 & 0.6543 \end{bmatrix}, \quad Q_2 = \begin{bmatrix} 5.2250 & -0.7939 \\ -0.7939 & 0.5582 \end{bmatrix}$$

각 지역 퍼지 시스템의 극점은  $(-4.1586, -4.1611)$ 과  $(-3.0594, -3.0594)$ 으로 지정된 영역에 위치함을 알 수 있다. 이 때의 궤환 이득과 안정도를 보장하는 공통 양한정 행렬  $P$ 는 다음과 같다.

$$K_1 = [-196.0577 \quad -47.1449], \quad K_2 = [-3575.3388 \quad -1168.6347]$$

$$P = \begin{bmatrix} 0.4196 & 0.0278 \\ 0.0278 & 0.0122 \end{bmatrix}$$

그림 3과 그림 4는 막대의 초기 각도를 45도( $0.7854$  rad)으로 했을 때 얻은 결과이다.

## 5. 결론

본 논문에서는 지정된 디스크 영역 내에 극배치하는 방법을 비선형 퍼지 제어 시스템에 적용하는 방법을 제안하였다. 비선형 시스템은 여러 동작점에서 선형화하여 TS퍼지모델로 표현할 수 있고 이 모델을 기반으로 하여 퍼지 제어기 규칙을 작성할 수 있다. 각 지역 모델에 대한 궤환 제어 이득은 현대 제어 기법중 시스템의 과도응답 성능을 양호하게 하는 극배치 방법을 이용하여 구하

게 된다. 대표적인 비선형 시스템인 도럼진자에 적용한 결과로부터 제안한 제어기가 우수한 성능을 가지고 있음을 알 수 있다.

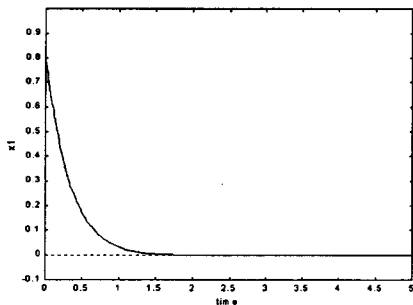


그림 3 제안된 제어기의 출력응답( $x_1$ )

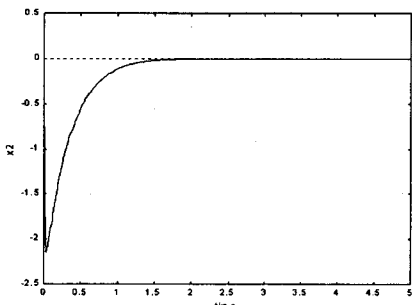


그림 4 제안된 제어기의 출력응답( $x_2$ )

## (참 고 문 헌)

- [1] T. Takagi and M. Sugeno, "Fuzzy Identification of Systems and Its Applications to Modeling and Control", IEEE Trans. Syst., Man, and Cybernetics, Vol. SMC-15, No 1, pp. 116-132, 1985.
- [2] S.G.Cao, N.W.Rees, and G.Feng, "Stability Analysis and Design for a Class of Continuous-Time Fuzzy Control System", Int.J.Control.Vol.64, No.6, pp1069-1087, 1996
- [3] L.K.Wong,F.F.Leung, and P.K.S.Tam, "Stability Design of TS Model Based Fuzzy Systems", IEEE-FUZZ1997, pp.83-86, 1997.
- [4] C. Li, P. C. Chen, and C.K. Chen, "Analysis and Design of Fuzzy Control Systems", Fuzzy Sets and Systems, Vol.57, pp.125-140, 1993.
- [5] F.H.F.Leung, L.K.Wong and P.K.S.Tam, "Fuzzy Model Based Controller for an Inverted Pendulum", Electronics Letters, Vol.32, pp.1683-1685, 1996
- [6] V.G.Nguyen and H.S.Kim, "A Pole Assignment in a Specified Disk by using Hamiltonian Properties" Automation & Systems Engineering, Vol.4, No.6, 1998
- [7] L.S.Shieh, H.M.Dib and S.Ganeson, "Continuous-time quadratic regulator and pseudo-continuous-time quadratic regulator with pole placement in a specific region", IEE Proceedings(D), Vol.134(5), pp.338-346, 1987.
- [8] Y.H.Joo,L.S.Shieh,G.Chen,"Hybrid State-Space Fuzzy Model-Based Controller with Dual-Rate Sampling for Digital Control of Chaotic System", IEEE Transaction on Fuzzy System, Vol.7.No.4.1999